

Annexe A

Problème du map-making

Le signal que l'on traite a la forme de l'équation ???. On écrit le bruit comme $\vec{n} = \vec{d} - \mathbf{A} \cdot \vec{s}$ où \vec{d} sont les données, \mathbf{A} la matrice de mélange et \vec{s} le signal que l'on cherche. On prend ici un bruit gaussien que l'on peut écrire sous la forme :

$$\begin{aligned} P(\vec{n}) &= \frac{1}{\sqrt{2\pi|N|}} \exp\left(-\frac{1}{2}\vec{n}^t \cdot N^{-1} \cdot \vec{n}\right) \\ &= \frac{1}{\sqrt{2\pi|N|}} \exp\left(-\frac{1}{2}\left(\vec{d} - \mathbf{A} \cdot \vec{s}\right)^t \cdot N^{-1} \cdot \left(\vec{d} - \mathbf{A} \cdot \vec{s}\right)\right) \end{aligned}$$

On appelle dans notre cas N la matrice de covariance du bruit et $|N|$ son déterminant. On cherche maintenant à maximiser cette fonction, ce qui revient à minimiser l'argument de l'exponentielle. On note maintenant la probabilité $P(\vec{n})$ la likelihood $\mathcal{L}(\vec{n})$:

$$-2 \log \mathcal{L}(\vec{n}) = \underbrace{-2 \log \left[\frac{1}{\sqrt{2\pi|N|}} \right]}_{\text{constant} = K} + \left(\vec{d} - \mathbf{A} \cdot \vec{s}\right)^t \cdot N^{-1} \cdot \left(\vec{d} - \mathbf{A} \cdot \vec{s}\right)$$

On peut maintenant noter $-2 \log \mathcal{L}(\vec{n}) = \chi^2$ la fonction que l'on cherche à minimiser. Dans le cas idéal, on peut écrire :

$$\begin{aligned} \frac{\partial \chi^2}{\partial \vec{s}^t} &= 0 \\ \frac{\partial}{\partial \vec{s}^t} \left(\left(\vec{d} - \mathbf{A} \cdot \vec{s}\right)^t \cdot N^{-1} \cdot \left(\vec{d} - \mathbf{A} \cdot \vec{s}\right) \right) &= 0 \\ \frac{\partial}{\partial \vec{s}^t} \left[\left(\vec{d}^t \cdot N^{-1} - \vec{s}^t \mathbf{A}^t \cdot N^{-1}\right) \cdot \left(\vec{d} - \mathbf{A} \cdot \vec{s}\right) \right] &= 0 \\ -\vec{s}^t \cdot \mathbf{A}^t \cdot N^{-1} \cdot \left(\vec{d} - \mathbf{A} \cdot \vec{s}\right) &= 0 \\ \vec{s} &= \left(\mathbf{A}^t \cdot N^{-1} \cdot \mathbf{A}\right)^{-1} \mathbf{A}^t \cdot N^{-1} \cdot \vec{d} \end{aligned}$$

On voit ici qu'il est possible de calculer le signal \vec{s} que l'on recherche à partir de la matrice de mélange \mathbf{A} , des données \vec{d} ainsi que de la matrice de covariance du bruit N . Or on voit ici un problème important puisque l'élément $(\mathbf{A}^t \cdot N^{-1} \cdot \mathbf{A})^{-1}$ est une matrice immense de l'ordre de 10^{16} éléments ce qui pose des problèmes computationnelle important. Il est cependant possible de contourner ce problème grâce à des astuces et du calcul massivement parallèle mais une autre approche est à privilégier pour résoudre le problème du map-making.

On peut maintenant injecter cette équation dans celle du dessus afin de retirer le signal \vec{s} . On obtient :

$$\begin{aligned}
 -2 \log \mathcal{L}_{\text{spec}} &= K + (\vec{d} - \mathbf{A} - \vec{s})^t N^{-1} (\vec{d} - \mathbf{A} - \vec{s}) \\
 &= K + \left[\vec{d} - \mathbf{A} (\mathbf{A}^t N^{-1} \mathbf{A})^{-1} \mathbf{A}^t N^{-1} \vec{d} \right]^t N^{-1} \left[\vec{d} - \mathbf{A} (\mathbf{A}^t N^{-1} \mathbf{A})^{-1} \mathbf{A}^t N^{-1} \vec{d} \right] \\
 &= K + (\mathbf{A}^t N^{-1} \vec{d})^t (\mathbf{A} N^{-1} \mathbf{A}^t)^{-1} \mathbf{A}^t N^{-1} \mathbf{A} (\mathbf{A}^t N^{-1} \mathbf{A})^{-1} \mathbf{A}^t N^{-1} \vec{d} \\
 &= K + (\mathbf{A}^t N^{-1} \vec{d})^t (\mathbf{A}^t N^{-1} \mathbf{A})^{-1} (\mathbf{A}^t N^{-1} \vec{d})
 \end{aligned}$$

Annexe B

Démonstration des équations de Friedmann

L'univers est régit par les équations d'Einstein que l'on peut écrire sous la forme :

$$R_{\mu\nu} - \frac{1}{2}g_{\mu\nu}R + \Lambda g_{\mu\nu} = \frac{8\pi G}{c^4}T_{\mu\nu} \quad (\text{B.0.1})$$

où $R_{\mu\nu}$ est le tenseur de Ricci, une contraction du tenseur de Riemann décrivant la géométrie de l'espace-temps, $g_{\mu\nu}$ est la métrique considérée, Λ est la constante cosmologique et $T_{\mu\nu}$ le tenseur énergie-impulsion. On commence par calculer les composantes non-nulles du tenseur de Ricci à partir des symboles de Christoffel définis par :

$$\Gamma_{kl}^i = \frac{1}{2}g^{im} \left(\frac{\partial g_{mk}}{\partial x^l} + \frac{\partial g_{ml}}{\partial x^k} - \frac{\partial g_{kl}}{\partial x^m} \right) \quad (\text{B.0.2})$$

En considérant la métrique ??, on peut donner les symboles de Christoffel non-nulles :

indice i	Composantes non-nulles
i = 0	$\Gamma_{11}^0 = \frac{\dot{a}a}{1-kr^2}, \quad \Gamma_{22}^0 = \dot{a}ar^2, \quad \Gamma_{33}^0 = \dot{a}ar^2 \sin^2 \theta$
i = 1	$\Gamma_{01}^1 = \Gamma_{10}^1 = \frac{\dot{a}}{a}, \quad \Gamma_{22}^1 = -r(1-kr^2), \quad \Gamma_{33}^1 = -r(1-kr^2) \sin^2 \theta$
i = 2	$\Gamma_{02}^2 = \Gamma_{20}^2 = \frac{\dot{a}}{a}, \quad \Gamma_{12}^2 = \Gamma_{21}^2 = \frac{1}{r}, \quad \Gamma_{33}^2 = -\sin \theta \cos \theta$
i = 3	$\Gamma_{03}^3 = \Gamma_{30}^3 = \frac{\dot{a}}{a}, \quad \Gamma_{13}^3 = \Gamma_{31}^3 = \frac{1}{r}, \quad \Gamma_{23}^3 = \Gamma_{32}^3 = \cot \theta$

On peut maintenant définir le tenseur de Ricci qui est une contraction du tenseur de Riemann (ou trace) tel que :

$$R_{\mu\nu} = R_{\mu\nu\lambda}^{\lambda} \quad (\text{B.0.3})$$

De la même manière que pour les symboles de Christoffel, on peut définir les composantes non-nulles de ce tenseur.

$$\begin{aligned}
 R_{00} &= -3\frac{\ddot{a}}{a} \\
 R_{11} &= \frac{\ddot{a}a + 2\dot{a}^2 + 2k}{1 - kr^2} \\
 R_{22} &= r^2 (a\ddot{a} + 2\dot{a}^2 + 2k) \\
 R_{33} &= r^2 (a\ddot{a} + 2\dot{a}^2 + 2k) \sin^2 \theta
 \end{aligned}$$

Pour la suite il sera plus simple de définir $R_{ij} = g_{ij} (a\ddot{a} + 2\dot{a}^2 + 2k) \frac{1}{a^2(t)}$. Il suffit de définir le scalaire de courbure qui est :

$$\begin{aligned}
 R &= g^{\mu\nu} R_{\mu\nu} = g^{00} R_{00} + g^{11} R_{11} + g^{22} R_{22} + g^{33} R_{33} \\
 &= \frac{3\ddot{a}}{a} + \frac{1 - kr^2}{a^2(t)} \left(\frac{a(t)\ddot{a}(t) + 2\dot{a}^2(t) + 2k}{1 - kr^2} \right) + \\
 &\quad \frac{1}{a^2(t)r^2} r^2 (a\ddot{a}(t) + 2\dot{a}^2(t) + 2k) + \frac{1}{a^2(t)r^2 \sin^2 \theta} r^2 \sin^2 \theta (a\ddot{a} + 2\dot{a}^2(t) + 2k) \\
 &= \frac{6}{a^2(t)} (a\ddot{a}(t) + 2\dot{a}^2(t) + 2k)
 \end{aligned}$$

En réécrivant les équations d'Einstein pour la composante 00, on obtient :

$$\begin{aligned}
 -\frac{3\ddot{a}(t)}{a(t)} + \frac{1}{2} \frac{6}{a^2(t)} (a(t)\ddot{a}(t) + \dot{a}^2(t) + k) - \Lambda &= 8\pi G\rho \\
 \longrightarrow H^2 &= \frac{8\pi G}{3} \rho + \frac{\Lambda}{3} - \frac{k}{a^2(t)}
 \end{aligned}$$

De même pour les composantes ij, on obtient la deuxième équation de Friedmann :

$$\begin{aligned}
 \frac{g_{ij}}{a^2(t)} (a\ddot{a}(t) + 2\dot{a}^2(t) + 2k) - \frac{1}{2} g_{ij} \frac{6}{a^2(t)} (a\ddot{a} + \dot{a}^2 + k) + \Lambda g_{ij} &= 8\pi G P g_{ij} \\
 -\frac{2\ddot{a}(t)}{a(t)} - H^2 - \frac{k}{a^2(t)} + \Lambda &= 8\pi G P \\
 \longrightarrow \frac{\ddot{a}(t)}{a(t)} &= -\frac{4\pi G}{3} (\rho + 3P) + \frac{\Lambda}{3}
 \end{aligned}$$

On a donc bien au final les deux équations de Friedmann en partant de la métrique FLRW.

Annexe C

Détection du champs électrique

On part pour cela de l'orientation du champs électrique juste après la lame demi-onde auquel on ajoute l'effet du polariseur. On obtient :

$$\begin{aligned}\vec{E}' &= J_{\text{pol}} J_{\text{HWP}} \vec{E} \\ &= \begin{bmatrix} 1 & 0 \\ 0 & 0 \end{bmatrix} \cdot \begin{bmatrix} \cos 2\theta & \sin 2\theta \\ \sin 2\theta & -\cos 2\theta \end{bmatrix} \cdot \begin{bmatrix} E_x \\ E_y \end{bmatrix} \\ &= \begin{bmatrix} \cos 2\theta & \sin 2\theta \\ 0 & 0 \end{bmatrix} \cdot \begin{bmatrix} E_x \\ E_y \end{bmatrix} \\ &= \begin{bmatrix} \cos 2\theta E_x + \sin 2\theta E_y \\ 0 \end{bmatrix}\end{aligned}$$

On a ici les composantes du champs électrique après être passé dans la lame demi-onde suivie d'un polariseur. On peut maintenant écrire la norme au carré du champs électrique tel que $|\vec{E}|^2 = (E_x \cos 2\theta + E_y \sin 2\theta)^2$. Il est possible d'obtenir le résultat voulu en prenant la valeur moyenne et en y intégrant les paramètres de stokes définit avec la matrice de cohérence ??.

$$\begin{aligned}\langle |\vec{E}|^2 \rangle &= \langle E_x^2 \cos^2 2\theta \rangle + \langle E_y^2 \sin^2 2\theta \rangle + 2 \langle E_x E_y \cos 2\theta \sin 2\theta \rangle \\ &= \langle E_x^2 \rangle \cos^2 2\theta + \langle E_y^2 \rangle \sin^2 2\theta + 2 \langle E_x E_y \rangle \cos 2\theta \sin 2\theta \\ &= (I + Q) \cos^2 2\theta + (I - Q) \sin^2 2\theta + 2U \cos 2\theta \sin 2\theta \\ &= I [\cos^2 2\theta + \sin^2 2\theta] + Q [\cos^2 2\theta - \sin^2 2\theta] + U \sin 4\theta \\ &= I + Q \cos 4\theta + U \sin 4\theta\end{aligned}$$

Annexe D

Matrices de corrélation

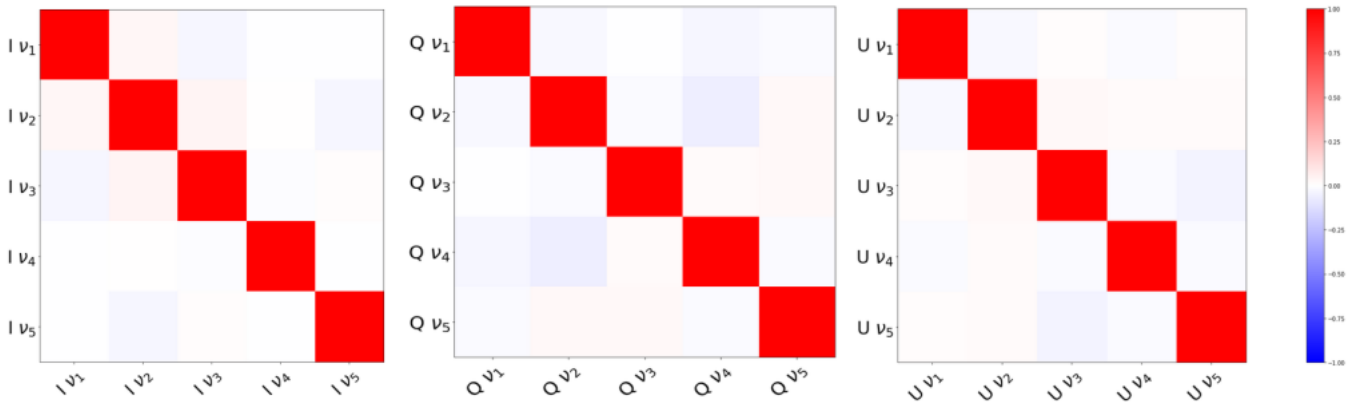


FIGURE D.1 – Matrices de corrélation pour un bruit blanc.

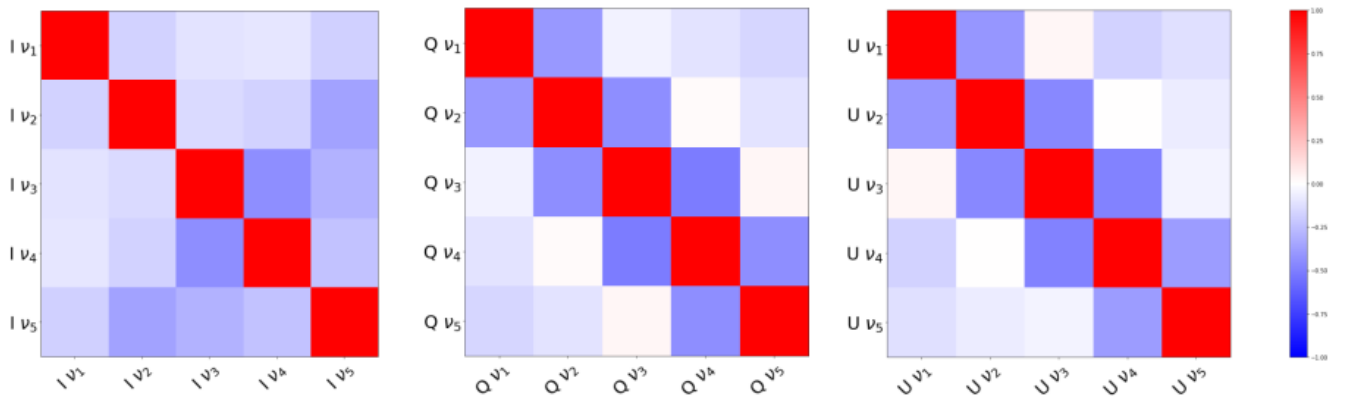


FIGURE D.2 – Matrices de corrélation typique de QUBIC.